

Starkniederschlagshöhen und -spenden gemäß KOSTRA-DWD-2020

Rasterfeld 98116

(Zeile 98, Spalte 116)

Regenspende und Bemessungsniederschlagswerte in Abhängigkeit von Wiederkehrzeit T und Dauerstufe D

| Dauerstufe D | | Wiederkehrzeit T | | | | | | | | | | | | | | | | | |
|--------------|-----|------------------|------------|------|------------|------|------------|------|------------|-------|------------|-------|------------|-------|------------|-------|------------|-------|------------|
| | | 1 a | | 2 a | | 3 a | | 5 a | | 10 a | | 20 a | | 30 a | | 50 a | | 100 a | |
| min | Std | mm | l / (s ha) | mm | l / (s ha) | mm | l / (s ha) | mm | l / (s ha) | mm | l / (s ha) | mm | l / (s ha) | mm | l / (s ha) | mm | l / (s ha) | mm | l / (s ha) |
| 5 | | 6,6 | 220,0 | 8,2 | 273,3 | 9,2 | 306,7 | 10,5 | 350,0 | 12,3 | 410,0 | 14,2 | 473,3 | 15,5 | 516,7 | 17,1 | 570,0 | 19,5 | 650,0 |
| 10 | | 8,6 | 143,3 | 10,6 | 176,7 | 11,9 | 198,3 | 13,6 | 226,7 | 16,0 | 266,7 | 18,5 | 308,3 | 20,1 | 335,0 | 22,2 | 370,0 | 25,3 | 421,7 |
| 15 | | 9,8 | 108,9 | 12,2 | 135,6 | 13,6 | 151,1 | 15,5 | 172,2 | 18,3 | 203,3 | 21,1 | 234,4 | 23,0 | 255,6 | 25,4 | 282,2 | 28,9 | 321,1 |
| 20 | | 10,7 | 89,2 | 13,3 | 110,8 | 14,9 | 124,2 | 17,0 | 141,7 | 20,0 | 166,7 | 23,1 | 192,5 | 25,1 | 209,2 | 27,8 | 231,7 | 31,6 | 263,3 |
| 30 | | 12,1 | 67,2 | 15,0 | 83,3 | 16,8 | 93,3 | 19,1 | 106,1 | 22,5 | 125,0 | 26,0 | 144,4 | 28,3 | 157,2 | 31,3 | 173,9 | 35,6 | 197,8 |
| 45 | | 13,6 | 50,4 | 16,8 | 62,2 | 18,8 | 69,6 | 21,5 | 79,6 | 25,3 | 93,7 | 29,2 | 108,1 | 31,7 | 117,4 | 35,1 | 130,0 | 39,9 | 147,8 |
| 60 | 1 | 14,7 | 40,8 | 18,2 | 50,6 | 20,4 | 56,7 | 23,2 | 64,4 | 27,3 | 75,8 | 31,6 | 87,8 | 34,4 | 95,6 | 38,0 | 105,6 | 43,2 | 120,0 |
| 90 | 1,5 | 16,4 | 30,4 | 20,3 | 37,6 | 22,7 | 42,0 | 25,9 | 48,0 | 30,5 | 56,5 | 35,2 | 65,2 | 38,3 | 70,9 | 42,4 | 78,5 | 48,2 | 89,3 |
| 120 | 2 | 17,7 | 24,6 | 21,9 | 30,4 | 24,5 | 34,0 | 28,0 | 38,9 | 32,9 | 45,7 | 38,0 | 52,8 | 41,4 | 57,5 | 45,8 | 63,6 | 52,0 | 72,2 |
| 180 | 3 | 19,7 | 18,2 | 24,4 | 22,6 | 27,3 | 25,3 | 31,1 | 28,8 | 36,6 | 33,9 | 42,3 | 39,2 | 46,0 | 42,6 | 50,9 | 47,1 | 57,9 | 53,6 |
| 240 | 4 | 21,2 | 14,7 | 26,3 | 18,3 | 29,4 | 20,4 | 33,5 | 23,3 | 39,5 | 27,4 | 45,6 | 31,7 | 49,6 | 34,4 | 54,9 | 38,1 | 62,4 | 43,3 |
| 360 | 6 | 23,6 | 10,9 | 29,2 | 13,5 | 32,7 | 15,1 | 37,3 | 17,3 | 43,9 | 20,3 | 50,7 | 23,5 | 55,1 | 25,5 | 61,0 | 28,2 | 69,4 | 32,1 |
| 540 | 9 | 26,2 | 8,1 | 32,4 | 10,0 | 36,3 | 11,2 | 41,4 | 12,8 | 48,7 | 15,0 | 56,3 | 17,4 | 61,3 | 18,9 | 67,7 | 20,9 | 77,0 | 23,8 |
| 720 | 12 | 28,2 | 6,5 | 34,9 | 8,1 | 39,1 | 9,1 | 44,6 | 10,3 | 52,5 | 12,2 | 60,6 | 14,0 | 66,0 | 15,3 | 73,0 | 16,9 | 83,0 | 19,2 |
| 1080 | 18 | 31,3 | 4,8 | 38,8 | 6,0 | 43,4 | 6,7 | 49,5 | 7,6 | 58,3 | 9,0 | 67,3 | 10,4 | 73,2 | 11,3 | 81,0 | 12,5 | 92,1 | 14,2 |
| 1440 | 24 | 33,7 | 3,9 | 41,8 | 4,8 | 46,8 | 5,4 | 53,3 | 6,2 | 62,8 | 7,3 | 72,5 | 8,4 | 78,9 | 9,1 | 87,2 | 10,1 | 99,2 | 11,5 |
| 2880 | 48 | 40,3 | 2,3 | 49,9 | 2,9 | 55,9 | 3,2 | 63,7 | 3,7 | 75,0 | 4,3 | 86,6 | 5,0 | 94,3 | 5,5 | 104,2 | 6,0 | 118,5 | 6,9 |
| 4320 | 72 | 44,7 | 1,7 | 55,4 | 2,1 | 62,0 | 2,4 | 70,7 | 2,7 | 83,2 | 3,2 | 96,1 | 3,7 | 104,6 | 4,0 | 115,7 | 4,5 | 131,6 | 5,1 |
| 5760 | 96 | 48,1 | 1,4 | 59,6 | 1,7 | 66,8 | 1,9 | 76,1 | 2,2 | 89,6 | 2,6 | 103,5 | 3,0 | 112,6 | 3,3 | 124,5 | 3,6 | 141,6 | 4,1 |
| 7200 | 120 | 51,0 | 1,2 | 63,2 | 1,5 | 70,7 | 1,6 | 80,6 | 1,9 | 94,9 | 2,2 | 109,6 | 2,5 | 119,3 | 2,8 | 131,9 | 3,1 | 150,0 | 3,5 |
| 8640 | 144 | 53,4 | 1,0 | 66,2 | 1,3 | 74,1 | 1,4 | 84,5 | 1,6 | 99,4 | 1,9 | 114,9 | 2,2 | 125,0 | 2,4 | 138,2 | 2,7 | 157,2 | 3,0 |
| 10080 | 168 | 55,6 | 0,9 | 68,8 | 1,1 | 77,1 | 1,3 | 87,9 | 1,5 | 103,4 | 1,7 | 119,5 | 2,0 | 130,0 | 2,1 | 143,8 | 2,4 | 163,5 | 2,7 |

Starkniederschlagshöhen und -spenden gemäß KOSTRA-DWD-2020

Rasterfeld 98116

(Zeile 98, Spalte 116)

Örtliche Unsicherheiten in Abhängigkeit von Wiederkehrzeit T und Dauerstufe D

| Dauerstufe D | | Wiederkehrzeit T | | | | | | | | |
|--------------|-----|------------------|-----|-----|-----|------|------|------|------|-------|
| | | 1 a | 2 a | 3 a | 5 a | 10 a | 20 a | 30 a | 50 a | 100 a |
| min | Std | ± % | ± % | ± % | ± % | ± % | ± % | ± % | ± % | ± % |
| 5 | | 15 | 17 | 17 | 18 | 19 | 20 | 21 | 21 | 22 |
| 10 | | 17 | 19 | 20 | 21 | 23 | 24 | 24 | 25 | 26 |
| 15 | | 18 | 21 | 22 | 23 | 24 | 25 | 26 | 26 | 27 |
| 20 | | 19 | 21 | 22 | 23 | 25 | 26 | 26 | 27 | 28 |
| 30 | | 18 | 21 | 22 | 23 | 25 | 26 | 26 | 27 | 28 |
| 45 | | 18 | 20 | 22 | 23 | 24 | 25 | 26 | 27 | 27 |
| 60 | 1 | 17 | 20 | 21 | 22 | 24 | 25 | 25 | 26 | 27 |
| 90 | 1,5 | 16 | 19 | 20 | 21 | 22 | 24 | 24 | 25 | 25 |
| 120 | 2 | 15 | 18 | 19 | 20 | 22 | 23 | 23 | 24 | 25 |
| 180 | 3 | 14 | 17 | 18 | 19 | 20 | 21 | 22 | 22 | 23 |
| 240 | 4 | 14 | 16 | 17 | 18 | 19 | 20 | 21 | 22 | 22 |
| 360 | 6 | 13 | 15 | 16 | 17 | 18 | 19 | 20 | 20 | 21 |
| 540 | 9 | 13 | 14 | 15 | 16 | 17 | 18 | 19 | 19 | 20 |
| 720 | 12 | 13 | 14 | 15 | 16 | 17 | 18 | 18 | 19 | 19 |
| 1080 | 18 | 14 | 14 | 15 | 16 | 17 | 17 | 18 | 18 | 19 |
| 1440 | 24 | 15 | 15 | 15 | 16 | 17 | 17 | 18 | 18 | 18 |
| 2880 | 48 | 17 | 17 | 17 | 17 | 17 | 18 | 18 | 18 | 19 |
| 4320 | 72 | 19 | 19 | 19 | 19 | 19 | 19 | 19 | 19 | 19 |
| 5760 | 96 | 21 | 20 | 20 | 20 | 20 | 20 | 20 | 20 | 20 |
| 7200 | 120 | 22 | 21 | 21 | 21 | 21 | 21 | 21 | 21 | 21 |
| 8640 | 144 | 23 | 22 | 22 | 22 | 21 | 21 | 21 | 21 | 21 |
| 10080 | 168 | 24 | 23 | 23 | 22 | 22 | 22 | 22 | 22 | 22 |

Parameter für abweichende T und D

Lokationsparameter ξ (Xi)

14,93261541

Skalenparameter α (Alpha)

4,96274608

Formparameter κ (Kappa)

-0,1

1. Koutsoyiannis-Parameter θ (Theta)

0,02229413

2. Koutsoyiannis-Parameter η (Eta)

0,74341486

Parameter für dauerstufenübergreifende Extremwertschätzung nach KOUTSOYIANNIS et al. 1998.

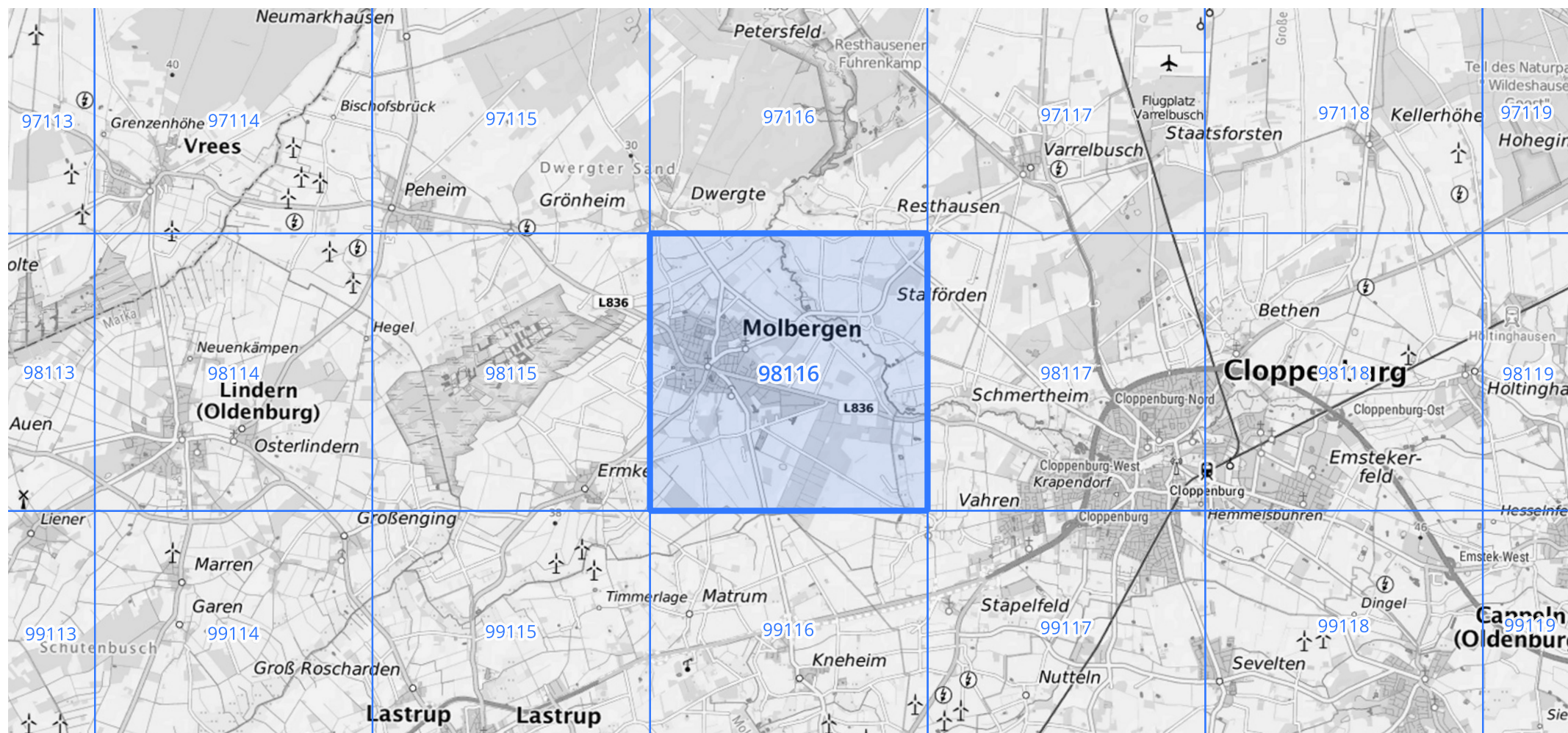
Siehe auch Anwendungshilfe zu KOSTRA-DWD-2020 des Deutschen Wetterdienstes.

Starkniederschlagshöhen und -spenden gemäß KOSTRA-DWD-2020

Rasterfeld 98116

(Zeile 98, Spalte 116)

Übersichtskarte des Rasterfeldes 98116, M 1 : 100 000



Quelle Rasterdaten: KOSTRA-DWD-2020 des Deutschen Wetterdienstes, Stand 12/2022.

Seite 3 von 3

Kartendarstellung: © Bundesamt für Kartographie und Geodäsie (2023), Datenquellen: https://sgx.geodatenzentrum.de/web_public/gdz/datenquellen/Datenquellen_TopPlusOpen.html

Für die Richtigkeit und Aktualität der Angaben wird keine Gewähr übernommen. Erstellt 01/2023.